



**МАТЕМАТИЧЕСКОЕ МОДЕЛИРОВАНИЕ И  
КОМПЬЮТЕРНОЕ ИССЛЕДОВАНИЕ ТОПОЛОГИЧЕСКИХ  
ФАЗОВЫХ ПЕРЕХОДОВ В ДВУМЕРНЫХ И  
ТРЕХМЕРНЫХ ДИСКРЕТНЫХ СИСТЕМАХ. ПОИСК  
СИГНАЛОВ ФАЗОВЫХ ПЕРЕХОДОВ ПЕРВОГО И  
ВТОРОГО РОДА**

Никонов Э. Г.

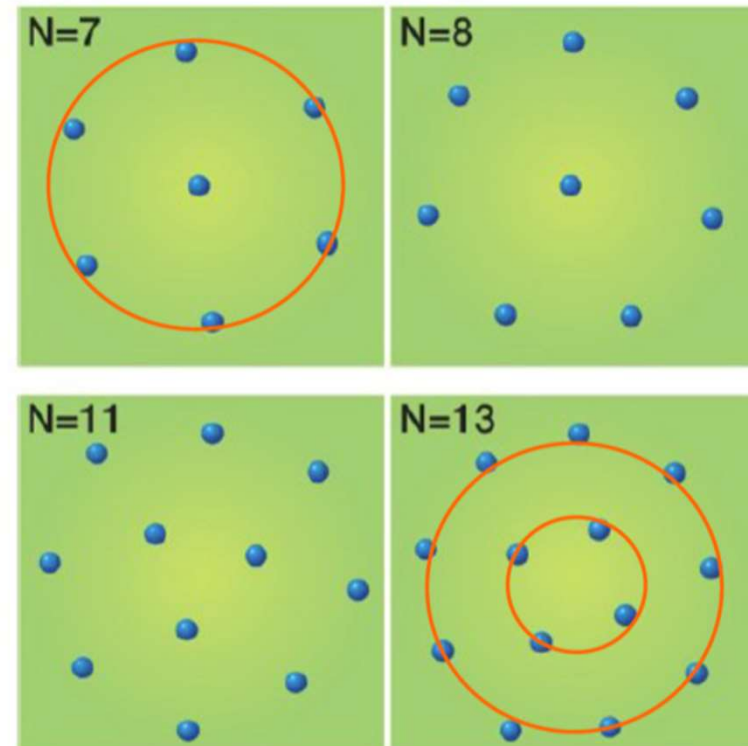
Осенняя Школа по информационным технологиям ОИЯИ  
*17 октября 2023 года*

## Мотивация

Проблема распределения одноименно-заряженных частиц в планарных системах является актуальной на протяжении многих десятилетий. В частности, данная проблема возникает при анализе поведения квантовых вихрей в Бозе конденсате; электронов в квантовых точках; коллоидных систем, в которых коллоидные частицы самоорганизуются на границе раздела двух различных жидкостей.

## Физическая проблема

Исследование эволюции равновесных конфигураций конечного числа одноименно заряженных частиц в планарных системах с круговой симметрией при увеличении числа частиц. Поиск глобального минимума энергии равновесной конфигурации.

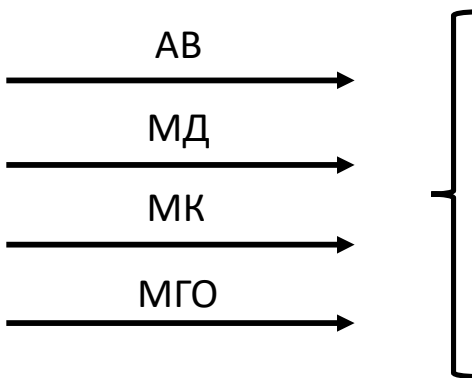


Дж. Дж. Томсон открыл, что для числа частиц  $n \leq 10$  устойчивые конфигурации электронов, погруженных в поле кругового параболического потенциала, представляют собой систему концентрических колец (оболочек).  
J.J. Thomson, Philos. Mag. 7, 237 (1904).

# Математическая постановка задачи

$$\left. \begin{aligned} H &= \sum_{i=1}^N V(r_i) + \alpha \sum_{i < j}^N \frac{1}{|\mathbf{r}_i - \mathbf{r}_j|} \\ r_i &= |\mathbf{r}_i|, \quad \alpha = \frac{e^2}{4\pi\epsilon_0\epsilon_r} \\ V(r) &= \begin{cases} 0, & r < R \\ \infty, & r \geq R \end{cases} \end{aligned} \right\}$$

$1 < N \leq 1000$  – число частиц



$n_i$  – распределение частиц в равновесном состоянии

$E_{GS}$  – энергия равновесного состояния

- |     |                                  |
|-----|----------------------------------|
| АВ  | – Аналитические вычисления       |
| МД  | – Методы молекулярной динамики.  |
| МК  | – Методы Монте-Карло.            |
| МГО | – Методы глобальной оптимизации. |

# Эволюция подходов к решению задачи

Вычисления координат частиц и энергии равновесного состояния на основе модели Томсона.



Численные методы: методы частиц (метод молекулярной динамики, методы Монте-Карло), методы минимизации функционалов (метод сопряженных градиентов, метод наискорейшего спуска) и другие.



Вычисления с использованием модели устойчивых конфигураций, учитывающей взаимодействие между оболочками заряженных частиц.



Вычисления координат частиц и энергии равновесной конфигурации с использованием полученных авторами аналитических зависимостей распределения частиц и энергии равновесной конфигурации от полного числа частиц в системе.

# Модель Томсона

$$E_n(r) = \frac{\alpha}{2r} \sum_{i=1}^{n-1} \sum_{j=i+1}^n \frac{1}{\sin \frac{\pi}{n}(|i-j|)} = \frac{\alpha n S_n}{4r},$$

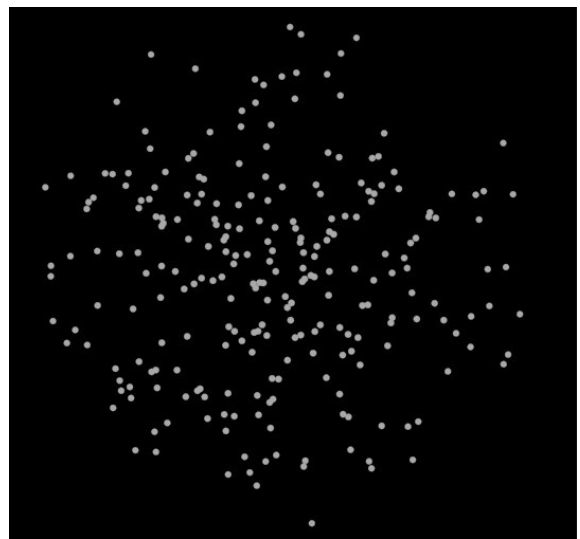
$$S_n = \sum_{k=1}^{n-1} \frac{1}{\sin \frac{\pi}{n} k}.$$

$E_n(r)$  - кулоновская энергия  $n$  одинаково заряженных частиц с зарядом  $e$ , равномерно распределенных по окружности радиуса  $r$ .

$\alpha = e^2 / 4\pi\epsilon_0\epsilon_r$  – величина, характеризующая силу взаимодействия зарядов в среде.

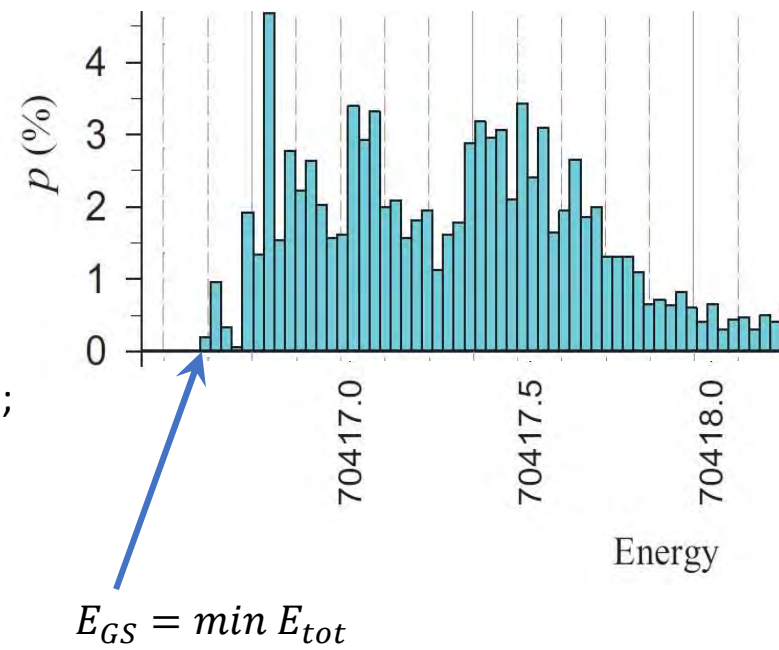
Без потери общности в дальнейшем в качестве заряженных частиц рассматриваются электроны с зарядом  $e$ .

# Традиционный подход к численному решению методом молекулярной динамики



$E_{tot}$

МД  
 $\sim 10^3 \div 10^4$  runs;  
run  $\sim 10^7$  iterations;  
 $N \sim 10^2$



\*Nazmitdinov R. G., Puente A., Cerkaski M. and Pons M.// Phys. Rev. E 95, 2017, 042603.

# Модель устойчивых конфигураций\*

$$\mathcal{F}_i = 0, \quad i = 2, \dots, p.$$

$$\mathcal{F}_i = r_i^2 \sum_{j=i+1}^p \frac{n_j E \left[ \left( r_j / r_i \right)^2 \right]}{r_j^2 - r_i^2} - \frac{\pi}{8} \sum_{k=1}^{n_i-1} \frac{1}{\sin \frac{\pi}{n_i} k} + r_i \sum_{j=1}^{i-1} n_j \left( \frac{r_j E \left[ \left( r_i / r_j \right)^2 \right]}{r_j^2 - r_i^2} - \frac{K \left[ \left( r_i / r_j \right)^2 \right]}{r_j} \right)$$

$r_i$  — значение  $i$  — го оптимального радиуса для заданной устойчивой конфигурации заряженных частиц.

$n_i$  — количество частиц на  $i$  — той оболочке.

\*Nazmitdinov R. G., Puente A., Cerkaski M. and Pons M.// Phys. Rev. E 95, 2017, 042603.

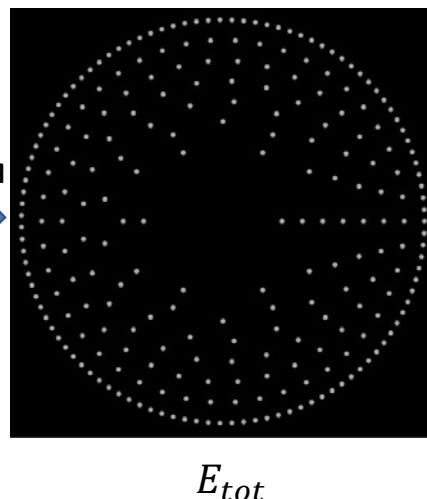
# Схема вычислений с использованием модели устойчивых конфигураций

Модель устойчивых конфигураций с учетом взаимодействия между кольцами

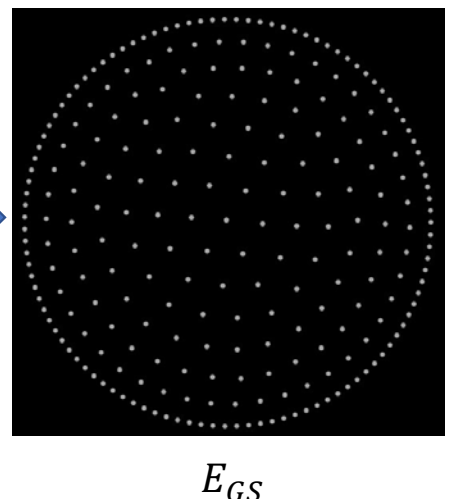
$$n_i = F_{p-i+1}(p), \quad i = 1, p - 2$$

$p$  – число колец,  
 $n_i$  – число частиц для  $i$ -го кольца

Начальная конфигурация



МД  
5-10 runs;  
run  $\sim 10^3$   
iterations;  
 $N_{it} \sim 10^3$   
 $\ll 10^{7 \div 8} !!!$



*Nazmitdinov R. G., Puente A., Cerkaski M. and Pons M.// Phys. Rev. E 95, 2017, 042603.*

## Формулы для зависимости $n_i$ и $E_{GS}$ от $N$

$$N(p) = 4.1988 + 7.27 \cdot p^{1.66} + 0.48 \cdot p^{2.48}$$

$$n_i(N) = a_i N^{\frac{2}{3}} - b_i$$

$i$	1	2	3	4	5	6
$a_i$	2.7948	1.3439	1.1323	1.0127	0.9482	0.8517
$b_i$	3.9444	7.2999	10.845	14.850	19.128	21.732

$$E_{GS}(N) = \frac{\pi}{4} N^2 - \frac{\pi}{2} \cdot N^{\frac{3}{2}} + 1.1701 \cdot N$$

# Сравнение аналитических расчетов $E_{GS}$ и методом МД для $N = 482$

Метод	$E_{GS}$
МД	166408.5903
(1)	<b>166408.5</b> 572
(2)	<b>1</b> 59916.3296

$$E_{GS}(N) = \frac{\pi}{4} \cdot N^2 - \frac{\pi}{2} \cdot N^{\frac{3}{2}} + 1.1701 \cdot N \quad (1)$$

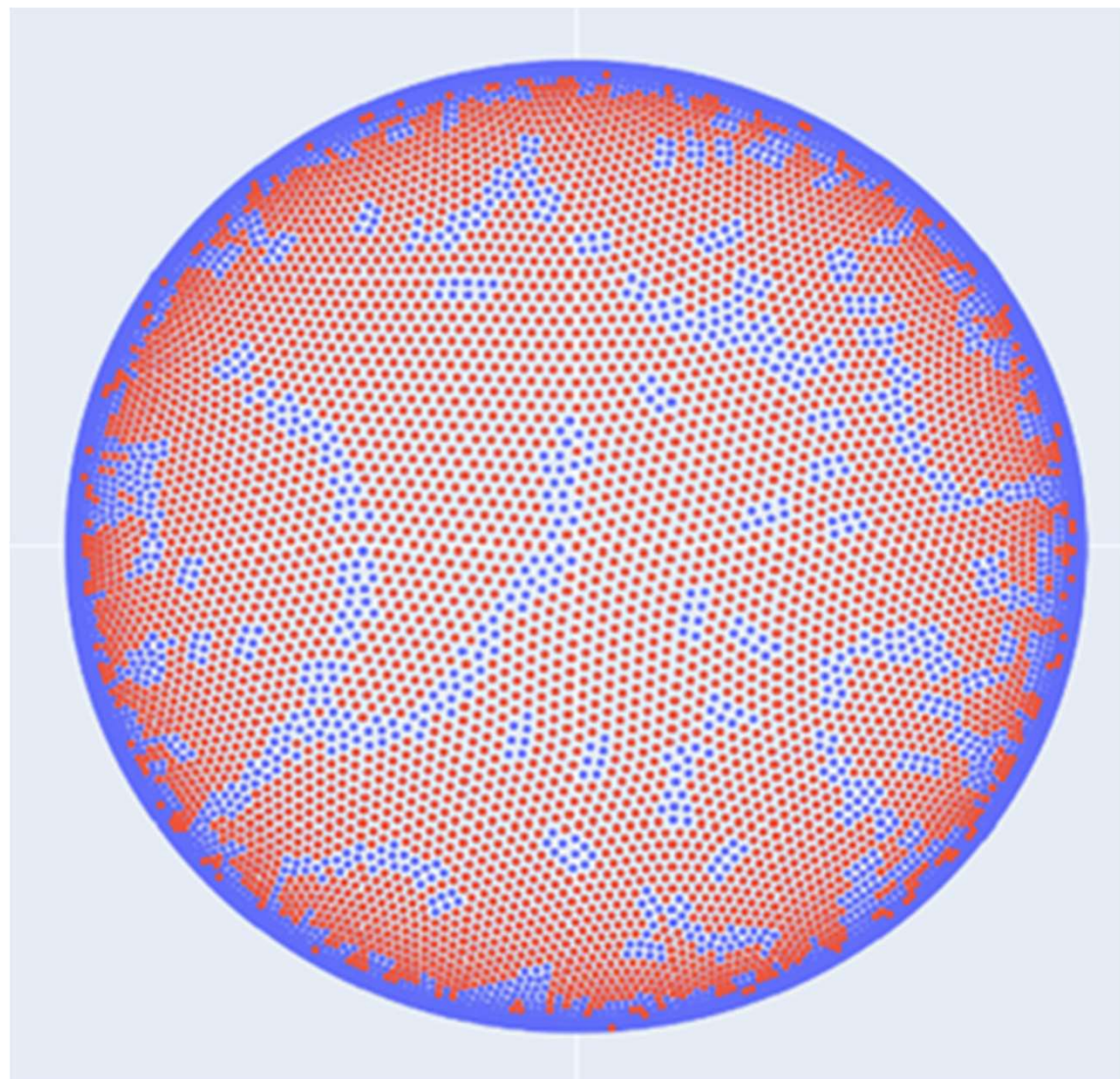
$$E_{GS}(N) = (N^2 + 9.9 \cdot N^{\frac{3}{2}} - 785.8898 \cdot \sqrt{N})/2 \quad (2)$$

МД – значение полученное с использованием метода молекулярной динамики

(1) – формула, полученная авторами

(2) – Shota Ono, Phys. Rev. B , т. 104, с. 094105, 2021.

Данный подход позволяет за разумное время производить расчеты для моделирования эволюции описанной системы, состоящей из нескольких тысяч заряженных частиц. Например, для достижения основного состояния системы с минимумом энергии для **8000** частиц методом молекулярной динамики с использованием технологии CUDA потребовалась **841 секунда** на компьютерной системе, состоящей из процессора Intel(R) Xeon(R) Gold 6148 CPU @ 2.40GHz и графических процессоров Tesla v100-sxm2-32gb.



## Цель исследования

**Цель** – исследование фазовых характеристик, поиск параметра порядка и сигналов фазового перехода типа «гексагональная решетка – гексатик-фаза» в зависимости от  $N$  при  $T = 0$ .

- Конечное число частиц  $N$ . Влияние границы существенно меняет
- Круговая граница. поведение системы и природу фазового
- Потенциал – «твёрдая стенка». перехода от гексагональной решётки к
- Множество метастабильных гексатической фазе и далее к изотропному состояний. «квазижидкому состоянию» в отличие от бесконечных систем.

## ФИЗИЧЕСКАЯ ПОСТАНОВКА ЗАДАЧИ

Дана система из  $N$  одноименно заряженных частиц с кулоновским взаимодействием в двумерном ограничивающем потенциале радиуса  $R$ . Гамильтониан такой системы записывается следующим образом (1).

$$H = \sum_{i=1}^N V(r_i) + \alpha \sum_{\substack{i,j=1 \\ i < j}}^N \frac{1}{|\vec{r}_i - \vec{r}_j|} + \sum_{i=1}^N T_i,$$

где  $r_i = |\vec{r}_i|$  – это расстояние до центра области, ограниченной потенциалом,  $\alpha = e^2/4\pi\epsilon_0\epsilon_r$  – величина, характеризующая силу взаимодействия зарядов в среде,  $T_i$  – кинетическая энергия частицы. Ограничивающий потенциал  $V(r)$  определяется следующим образом.

$$V(r) = \begin{cases} 0, & r < R \\ \infty, & r \geq R. \end{cases}$$

## ФИЗИЧЕСКАЯ ПОСТАНОВКА ЗАДАЧИ

Для того, чтобы избежать большого числа метастабильных состояний (локальных минимумов), система рассматривается при близких к нулю температурах, при которых потенциальная энергия доминирует над кинетической. Вследствие чего можно переписать функцию полной энергии системы следующим образом:

$$H = \sum_{i=1}^N V(r_i) + \alpha \sum_{\substack{i,j=1 \\ i < j}}^N \frac{1}{|\vec{r}_i - \vec{r}_j|} \quad (3)$$

В качестве основных инструментов для исследования природы фазовых переходов используется анализ поведения ориентационной корреляционной функции с использованием ориентационного параметра порядка, как функции числа частиц.

# ТОПОЛОГИЧЕСКИЙ ФАЗОВЫЙ ПЕРЕХОД

В соответствии с теорией Березинского – Костерлица – Таулеса – Хальперина – Нельсона – Янга (БКТХНЯ), фазовый переход «гексагональная решетка – гексатик-фаза» в описанных выше двумерных системах является топологическим фазовым переходом, т.е. переходом между двумя топологическими фазами. Топологическая фаза материи — состояние двумерной системы из большого числа сильновзаимодействующих частиц (конденсированной среды), характеризуемая определённым топологическим инвариантом. В рассматриваемом случае топологическим инвариантом является тип упорядоченности частиц, характеризуемый определенными группами симметрии [\*].

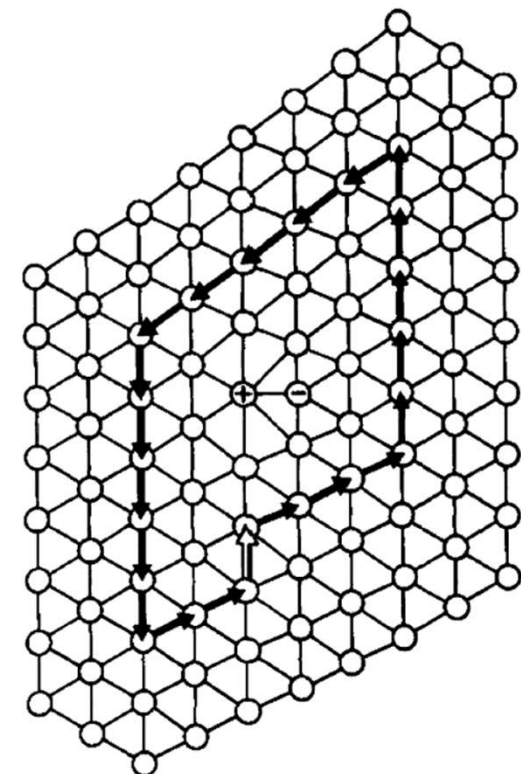
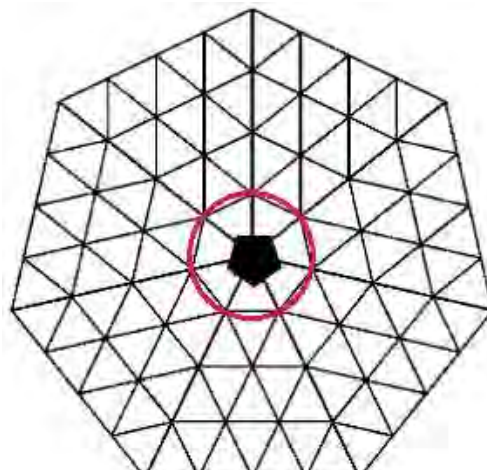
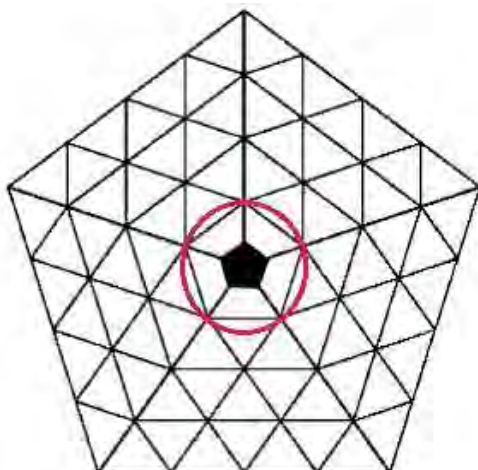
[\*] Nelson D.R. Defects and geometry in condensed matter physics. // Cambridge University Press, Cambridge, 2002, 392 P.

# ТОПОЛОГИЧЕСКИЙ ФАЗОВЫЙ ПЕРЕХОД

Гексагональная решетка характеризуется трансляционной и ориентационной дискретными симметриями 6-го порядка (диэдральной группой симметрии 6-го порядка). Как следствие, в гексагональной фазе реализуется так называемый дальний порядок. В гексатик-фазе трансляционная симметрия нарушается за счет топологических дефектов, тогда как ориентационная симметрия 6-го порядка может сохраняться. Поэтому в гексатик-фазе реализуется так называемый квазидальний порядок. Таким образом переход из одной фазы в другую происходит вследствие появления топологических дефектов, нарушающих трансляционную симметрию периодической гексагональной структуры.

## ДЕФЕКТЫ

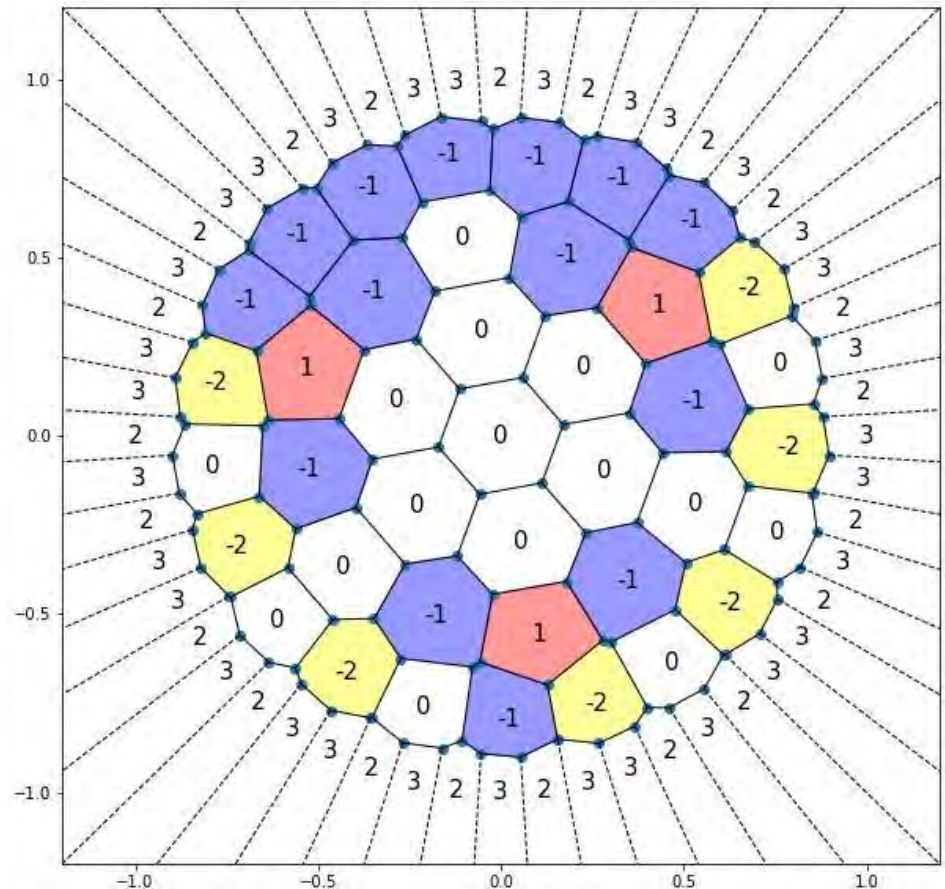
В соответствии с теорией Березинского – Костерлица – Таулеса – Хальперина – Нельсона – Янга (БКТХНЯ) для двумерных кристаллических решеток существует два типа топологических дефектов: **дисклинации и дислокации**, - которые характеризуют нарушение трансляционной и вращательной симметрий.



# РАЗБИЕНИЕ ВОРОНОГО

Для определения координат и формы дефектов мы использовали подход, основанный на алгоритме Вороного. В основе алгоритма лежит разбиение пространства на ячейки.

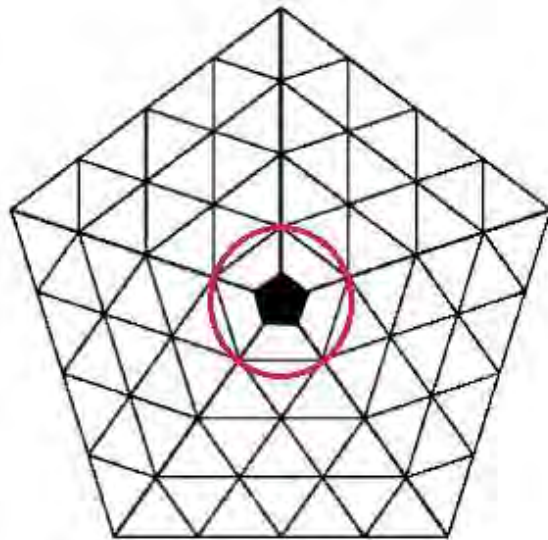
Каждая ячейка состоит из таких точек, которые расположены ближе всех к данной конкретной частице, чем к какой-либо другой частице из данного множества.



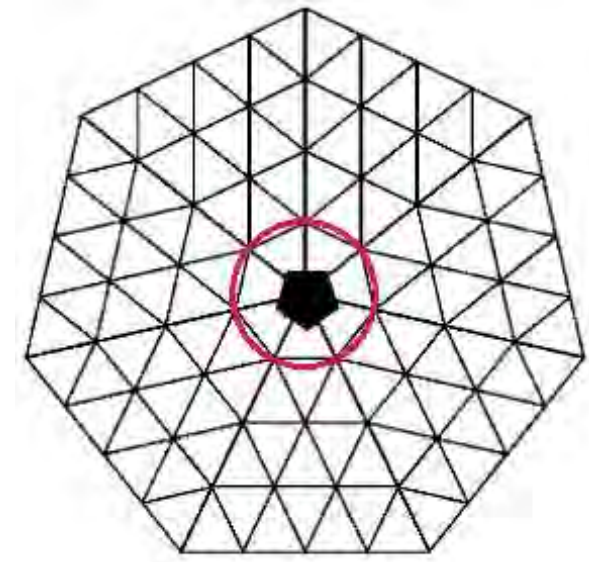
## КООРДИНАЦИОННОЕ ЧИСЛО

При таком разбиении можно непосредственно наблюдать два вида дефектов: дисклинации и дислокации. При этом дисклинацией называется ориентационный дефект с координационным числом  $C_d = 5$  или  $C_d = 7$ . Координационное число определяется числом сторон выпуклого многоугольника, описанного вокруг частицы в разбиении Вороного. В случае шестиугольника координационное число будет равно  $C_d = 6$ .

$$C_d = 5$$



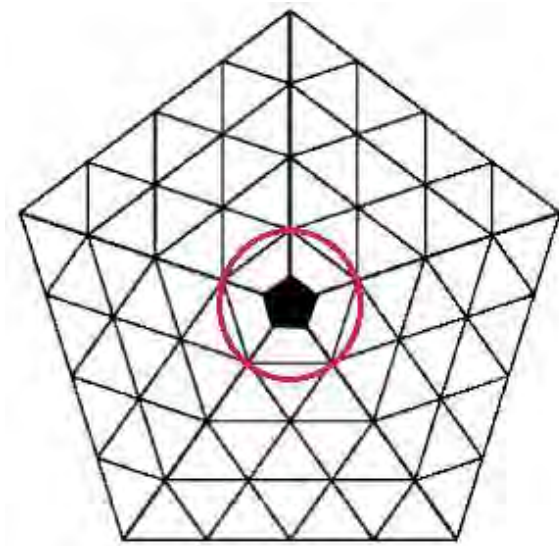
$$C_d = 7$$



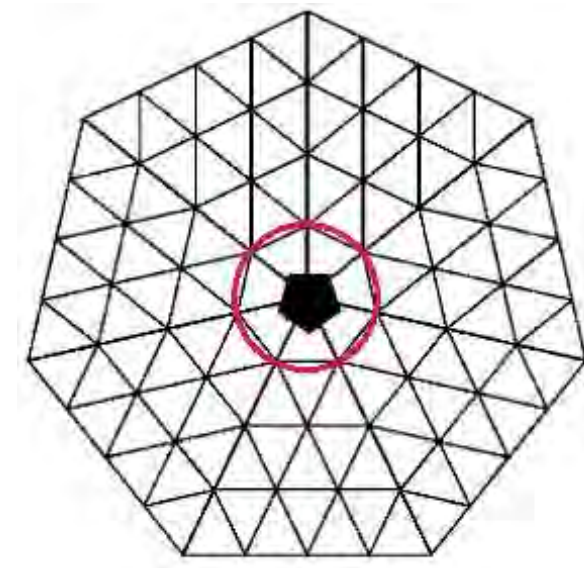
# ТОПОЛОГИЧЕСКИЙ ЗАРЯД

Учитывая вышеизложенные факты и определение координационного числа, можно естественным образом ввести такую величину, как топологический заряд посредством соотношения  $s = 6 - C_d$ . Таким образом, **дисклинацией** называется топологический дефект, при котором топологический заряд частицы не равен нулю.

$$s = +1$$



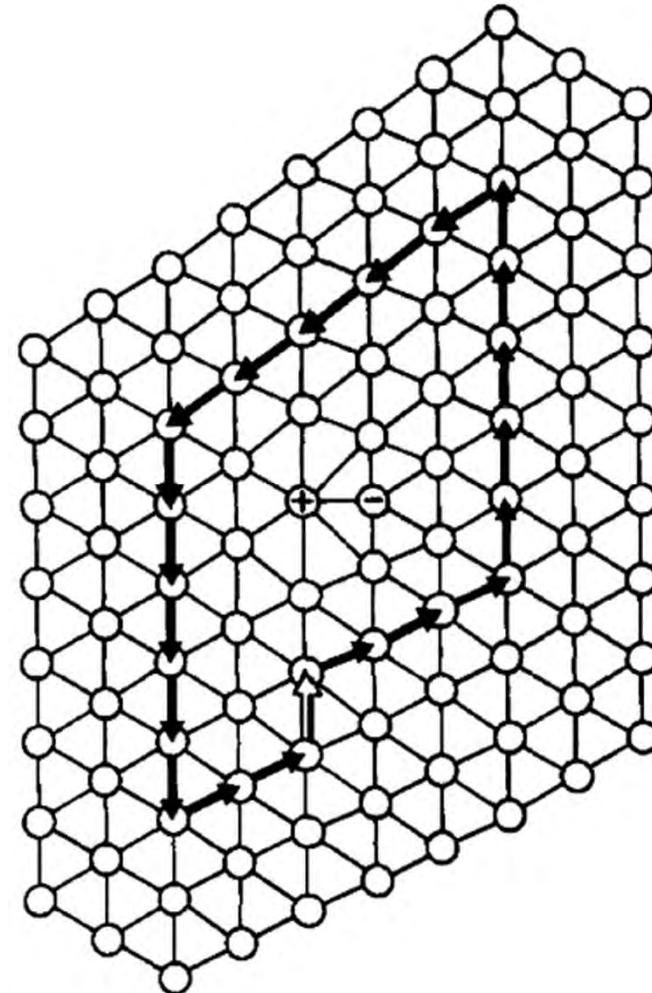
$$s = -1$$



# ТОПОЛОГИЧЕСКИЙ ЗАРЯД

**Дислокацией** называется дефект, состоящий из нескольких пар дискиназий, при этом соседние дискиназии в паре имеют равные по модулю топологические заряды с противоположными знаками.

Топологический заряд узлов гексагональной решетки без дефектов в соответствии с определением равен нулю.



# ТОПОЛОГИЧЕСКИЙ ЗАРЯД: ДИСКЛИНАЦИЯ

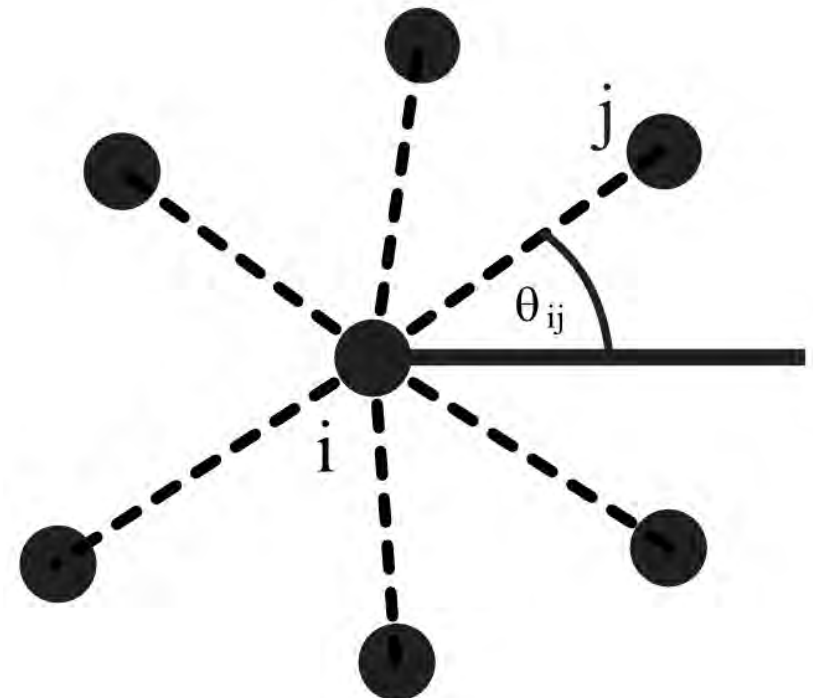
Дисклинация на гексагональной решетке

характеризуется тем, что при обходе по замкнутому контуру, содержащему дисклиниацию, интеграл от угла поворота

$$\vartheta(x, y) = \frac{1}{2} (\partial_x u_y - \partial_y u_x),$$

где  $\mathbf{u}(x, y) = (u_x(x, y), u_y(x, y))$  – вектор смещения некоторой малой области кристалла вследствие термодинамических флюктуаций при  $T \neq 0$ , получает приращение кратное  $2\pi/6$ :

$$\oint d\vartheta(\mathbf{r}) = -\frac{2\pi}{6} s, \quad s = \pm 1, \pm 2, \dots$$



# ОРИЕНТАЦИОННЫЙ ПАРАМЕТР ПОРЯДКА

Одним из возможных кандидатов на роль параметра порядка для фазового перехода «гексагональная решетка – гексатик-фаза» может служить так называемый ориентационный порядок связи [\*]

$$\psi_6(r_k) = \frac{1}{N_b} \sum_{l=1}^{N_b} e^{i6\theta_{kl}}$$

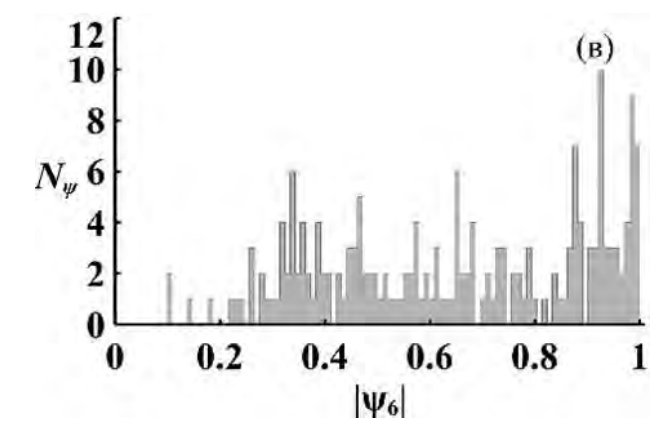
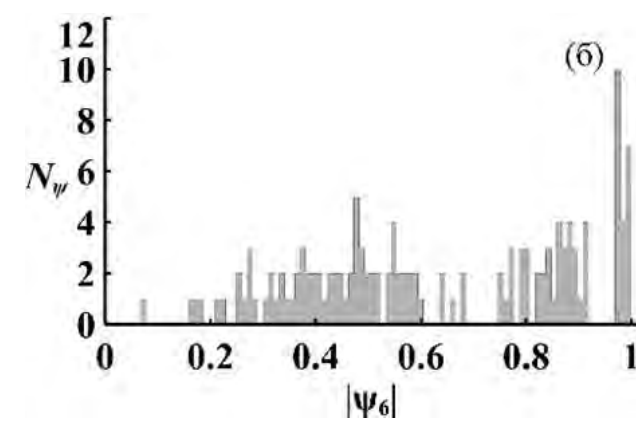
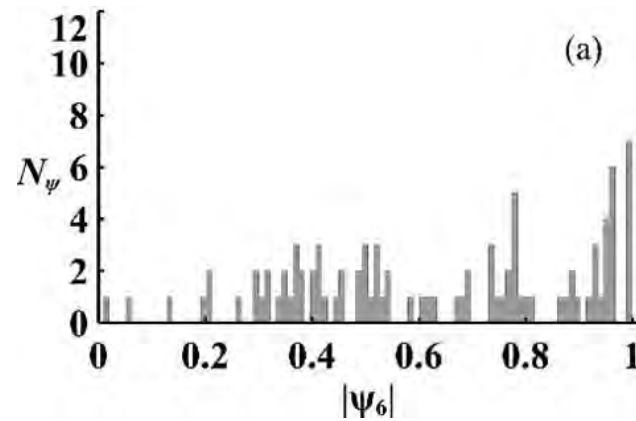
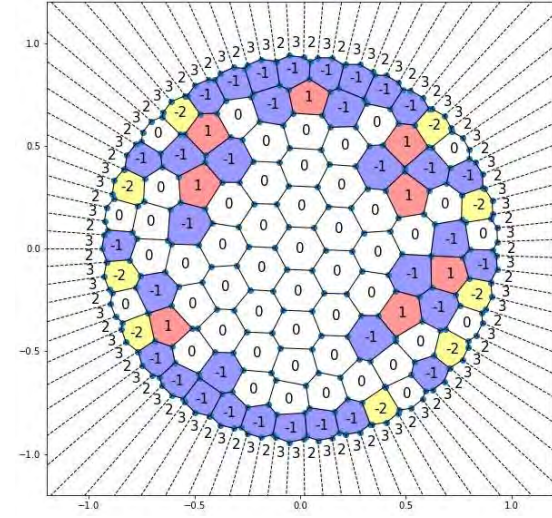
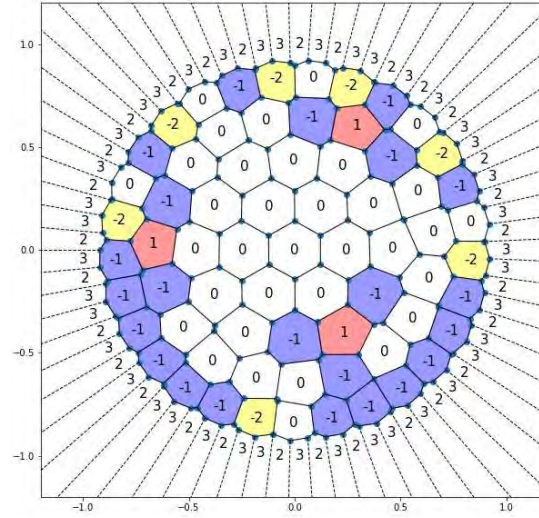
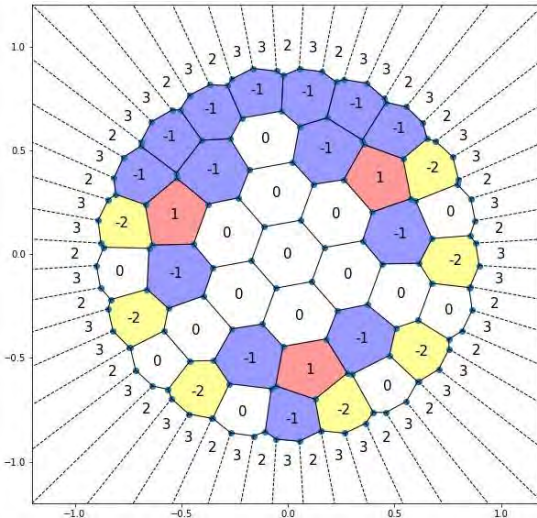
Ориентационный параметр порядка

$$\Psi_6(r_k) = 1 - \psi_6(r_k) - \varepsilon_6.$$

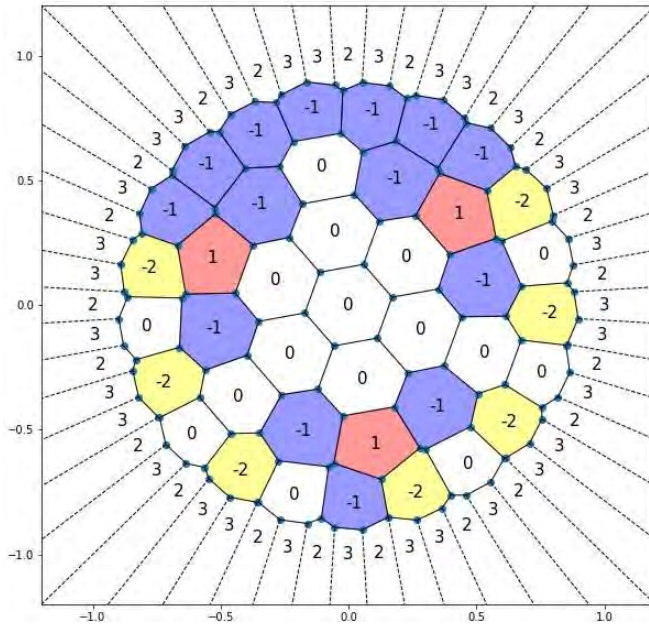
Здесь  $\varepsilon_6$  – точность определения степени ориентационной симметрии 6-го порядка, связанный с точностью вычисления функции  $\psi_6(r_k)$ . В этом случае в узлах гексагональной решетки параметр порядка будет равен 0 ( $\Psi_6(r_k) = 0$ ).

[\*] Halperin B. I., Nelson D. R. // Phys. Rev. Lett., 1978, V. 41, P. 121.

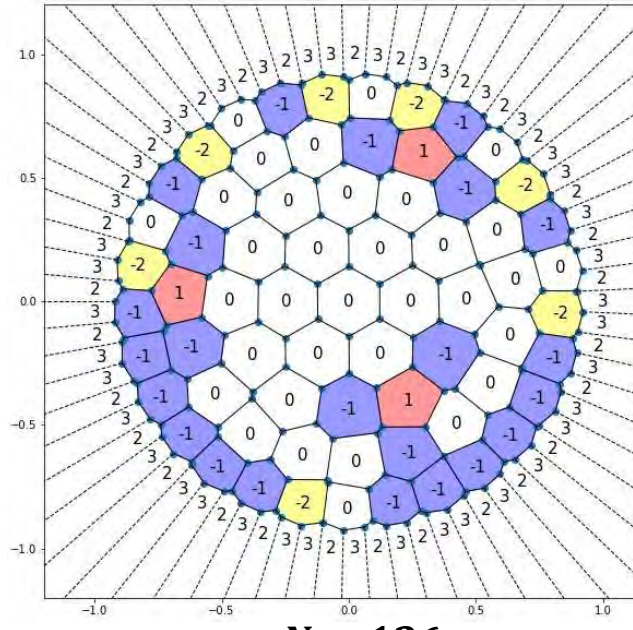
# ОРИЕНТАЦИОННЫЙ ПАРАМЕТР ПОРЯДКА



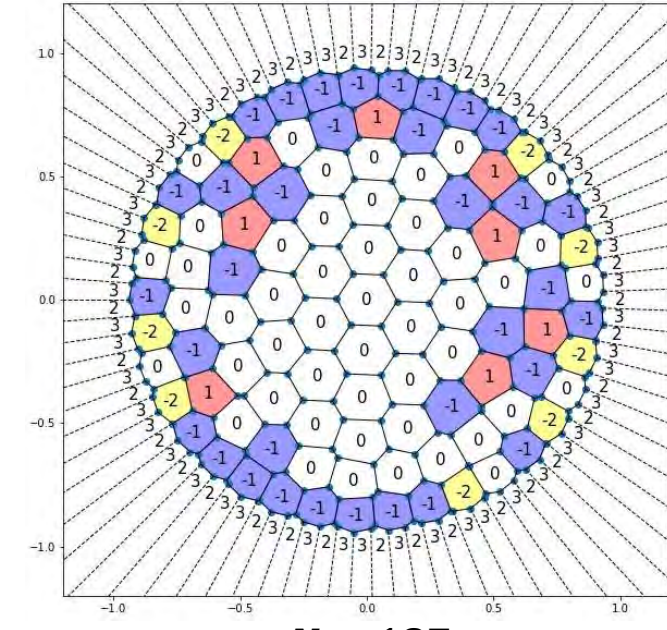
# РАСПРЕДЕЛЕНИЕ ТОПОЛОГИЧЕСКОГО ЗАРЯДА



$N = 92$



$N = 136$



$N = 187$

$N$	$s = 0$	$s = -1$	$s = 1$	$s = -2$	$s = 2$	$s = 3$
<b>92</b>	16	14	3	7	21	31
<b>136</b>	34	25	3	7	29	38
<b>187</b>	49	34	8	9	37	40

Qingyou Meng and Gregory M. Grason  
// Physical Review E104, 034614 (2021)  
( $s = -1 > s = +1 \ N \uparrow$ )

## ОРИЕНТАЦИОННАЯ КОРРЕЛЯЦИОННАЯ ФУНКЦИЯ

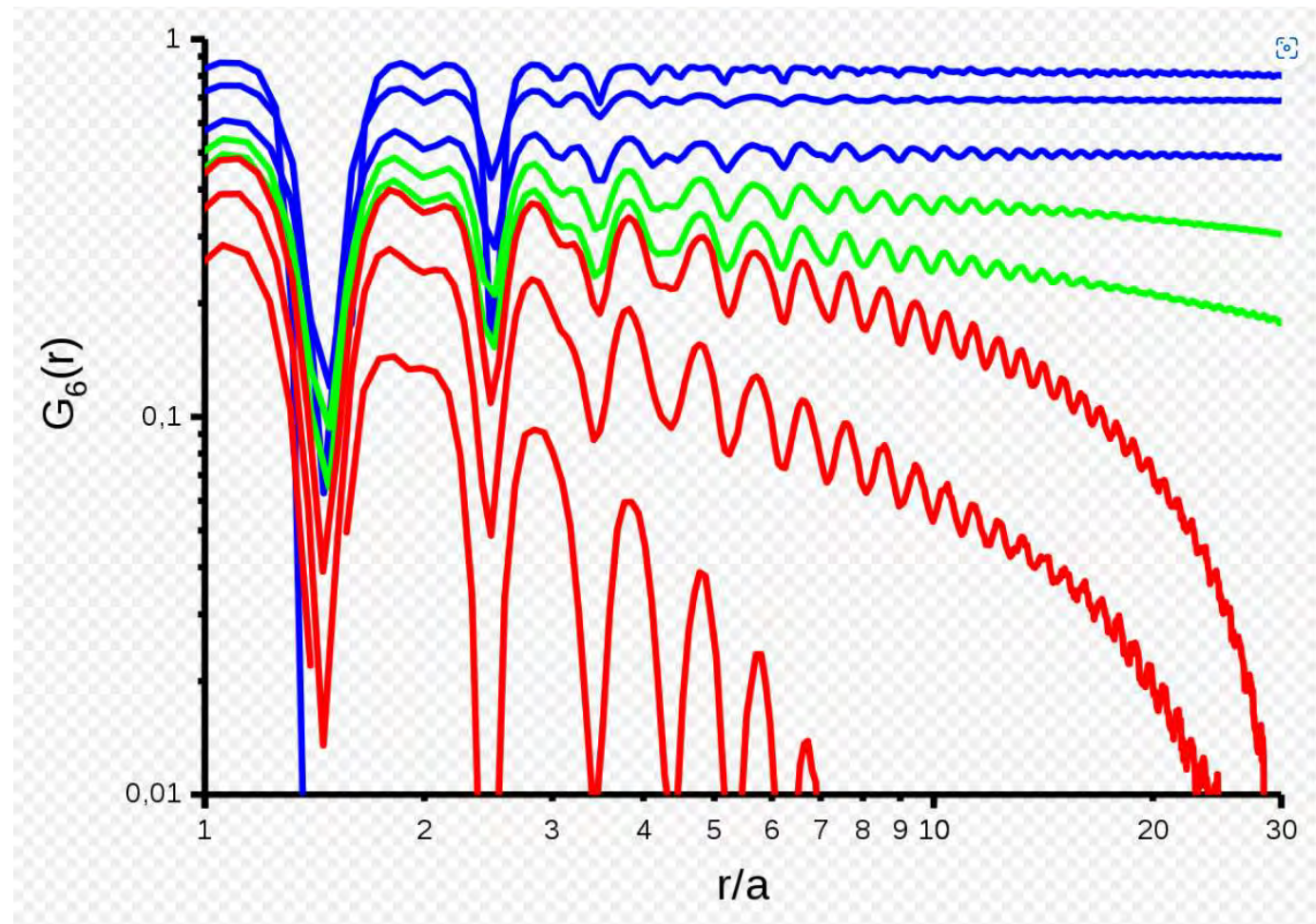
При описании фазовых переходов в двумерных системах одной из важнейших характеристик является поведение ориентационной корреляционной функции между двумя частицами  $i$  и  $j$  на расстоянии  $\mathbf{r}_{ij} = \mathbf{r}_i - \mathbf{r}_j$ , которая определяется следующим образом.

$$G_6(\mathbf{r}_{ij}) = \langle \Psi_6(\mathbf{r}_i) \cdot \Psi_6^*(\mathbf{r}_j) \rangle.$$

Здесь угловые скобки обозначают среднее статистическое значение для всех пар частиц с расстоянием  $|\mathbf{r}_{ij}|$ .

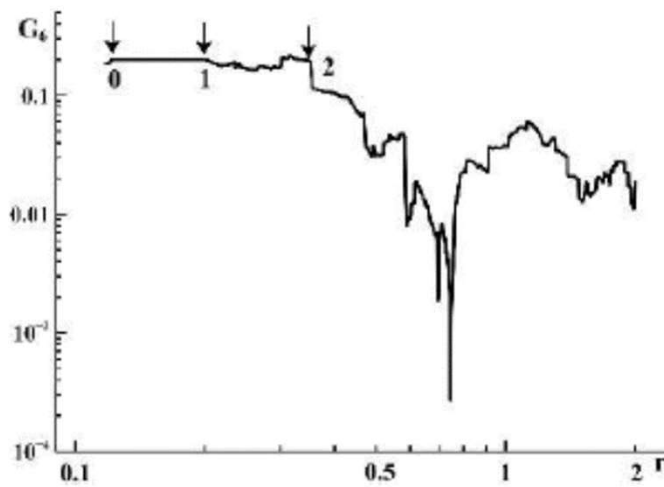
# ОРИЕНТАЦИОННАЯ КОРРЕЛЯЦИОННАЯ ФУНКЦИЯ

Пример расчетов для ориентационной корреляционной функции как функции расстояния представлена в масштабе log-log для неограниченного образца. Синяя кривая – гексагональная решетка, зеленая – гексатик-фаза красная – изотропная жидкость,

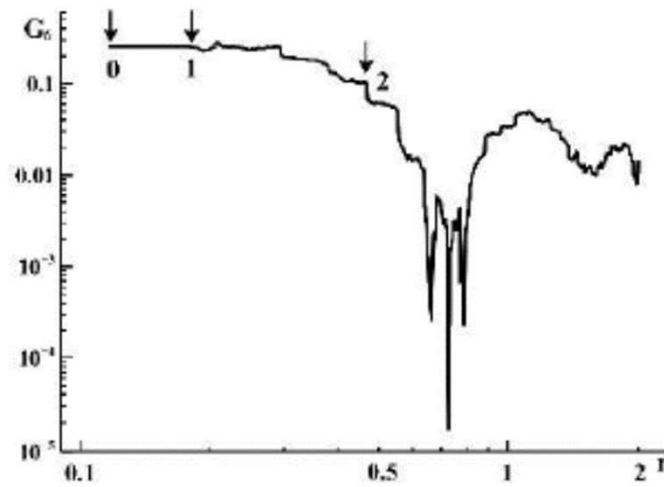


Рыжов В. Н., Тареева Е. Е.,  
Фомин Ю. Д., Цюк Е. Н. // УФН,  
2017, Т. 187, № 9, С. 921

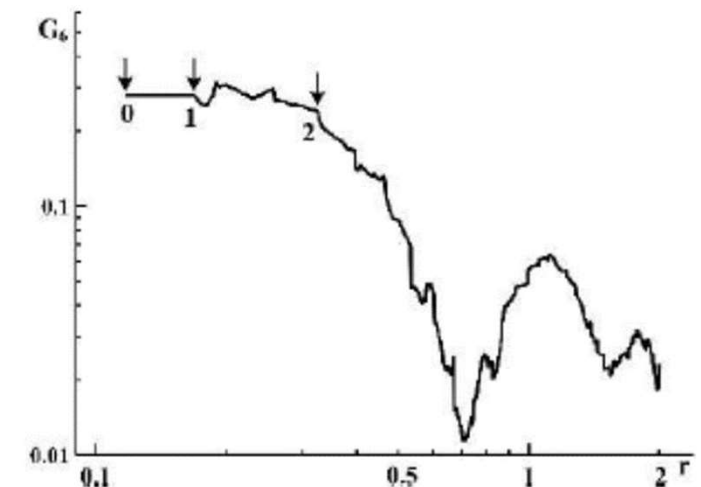
# ОРИЕНТАЦИОННАЯ КОРРЕЛЯЦИОННАЯ ФУНКЦИЯ



$N = 92$



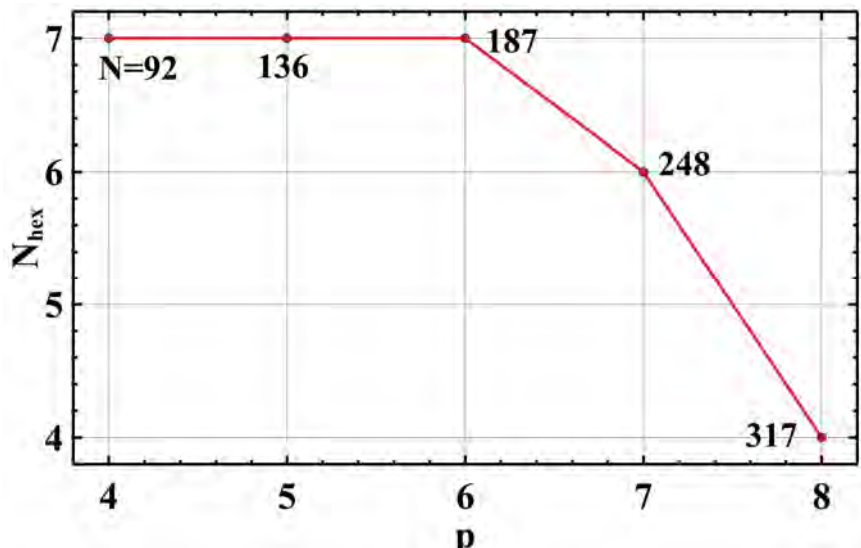
$N = 136$



$N = 187$

Ориентационная корреляционная функция  $G_6(r)$  (9) для разных значений числа частиц: a)  $N = 92$ ; b)  $N = 136$ ; c)  $N = 187$ .

# ДЕФОРМАЦИЯ ЦЕНТРИРОВАННОЙ ГЕКСАГОНАЛЬНОЙ РЕШЕТКИ



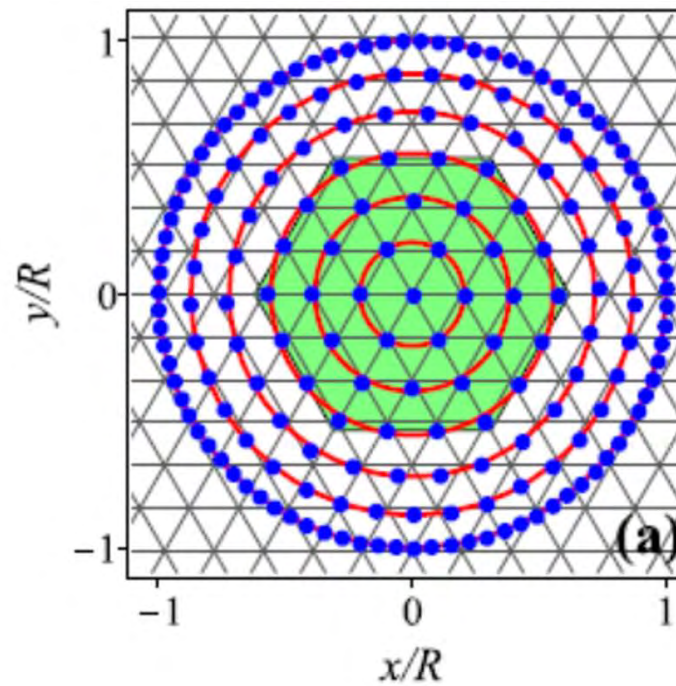
$N$  – полное число частиц в системе.

$p$  – количество заполненных оболочек (кольец).

$N_{hex}$  – количество правильных гексагональных ячеек.

$N_p$  – число частиц в заполненной  $p$ -той оболочке.  $N_p = 6p$ .

(a) Nazmitdinov R. G., Puente A., Cerkaski M. and Pons M.// Phys. Rev. E 95, 2017, 042603.



До  $p = 7$  все радиусы  $R_{k,l}$  упорядочены внутри между соседними оболочками. В соответствии с моделью частицы группируются в одном кольце с числом частиц  $N_p = 6p$ . Однако, с седьмой оболочкой кольца начинают перекрываться (например,  $R_{7,0} > R_{4,4}$ ), все больше нарушая эту последовательность вдали от центра.

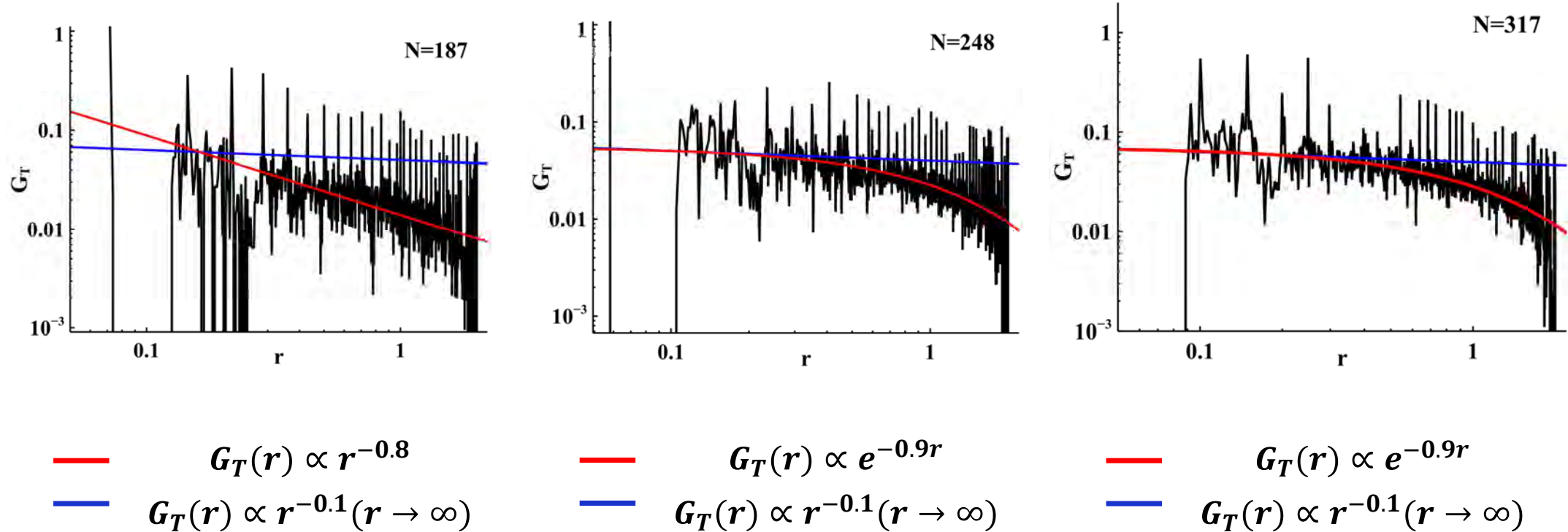
Векторы решетки Браве  $\vec{a}_1 = a(1,0)$ ,  $\vec{a}_2 = a(1/2, \sqrt{3}/2)$ ,  $a$  – постоянная решетки. Узлы центрированной гексагональной решетки  $\vec{x}_{k,l} = k\vec{a}_1 + l\vec{a}_2$ .  $R_{kl} = a\sqrt{k^2 + l^2 + kl}$  радиус  $p$ -той оболочки,  $p = k + l$  и  $0 \leq l \leq k$ , состоящих из 6 (если  $l = 0, k$ ) или 12 частиц  $l \neq 0, k$ .

## ТРАНСЛЯЦИОННАЯ КОРРЕЛЯЦИОННАЯ ФУНКЦИЯ

При описании фазовых переходов в двумерных системах одной из наиболее важных характеристик является трансляционная корреляционная функция, которая представляет собой вероятность обнаружения двух частиц на расстоянии  $r$ , является мерой трансляционного порядка рассматриваемой дискретной структуры и определяется следующим образом.

$$G_T(r) = \frac{1}{2\pi r N} \sum_{i=1}^N \sum_{j \neq i=1}^N \langle \delta(r - |\vec{r}_i - \vec{r}_j|) \rangle$$

# НАРУШЕНИЕ ДАЛЬНЕГО ТРАНСЛЯЦИОННОГО ПОРЯДКА



## Направления дальнейших исследований

- Определение типа и свойств фазового перехода гексагональная - гексатическая фаза – квазижидкость.
- Зависимость фазовых переходов от типа запирающего потенциала.
- Зависимость топологических характеристик от числа частиц и типа запирающего потенциала.
- Поиск сигналов фазовых переходов.
- Численное исследование «холодного плавления» в двумерных системах.

